

# Résolution de Problèmes

## Programmation par Contraintes

Marie Pelleau

`marie.pelleau@univ-cotedazur.fr`

# Algorithme glouton

## Principe

- À chaque étape, on fait un choix, celui qui semble le meilleur à cet instant
- Construit une solution pas à pas
  - sans revenir sur ses décisions
  - en effectuant à chaque étape le choix qui semble le meilleur
  - en espérant obtenir un résultat optimum global
- Approche gloutonne
  - suivant les problèmes pas de garantie d'optimalité (heuristique gloutonne)
  - peu coûteuse (comparée à une énumération exhaustive)
  - choix intuitif

# Recherche locale

## Principe

- On part d'une solution initiale
- À chaque étape, on modifie la solution
  - en essayant d'améliorer la valeur de la fonction objectif
  - en espérant obtenir l'optimum global
- Approche locale
  - suivant les problèmes pas de garantie d'optimalité (heuristique)
  - peu coûteuse

## Remarque

S'il n'existe pas de fonction objectif *Constraint Based Local Search*

# Programmation par Contraintes

- Recherche Arborescente
  - trouver une solution
  - trouver l'ensemble des solutions
  - trouver une solution optimale
  - prouver la non existence de solution
- Approche complète
  - garantie d'optimalité
  - plus coûteuse

# Send More Money

## Description

$$\begin{array}{r} \text{SEND} \\ + \text{MORE} \\ \hline \text{MONEY} \end{array}$$

## Contraintes possibles

$$\begin{aligned} C_1 : \quad & s*1000 + e*100 + n*10 + d \\ & + m*1000 + o*100 + r*10 + e \\ = & m*10000 + o*1000 + n*100 + e*10 + y \end{aligned}$$

$$\begin{array}{lllll} C_2 : s \neq e & C_3 : s \neq n & C_4 : s \neq d & C_5 : s \neq m & C_6 : s \neq o \\ C_7 : s \neq r & C_8 : s \neq y & C_9 : e \neq n & C_{10} : e \neq d & C_{11} : e \neq m \\ C_{12} : e \neq o & \dots & C_{27} : o \neq r & C_{28} : o \neq y & C_{29} : r \neq y \end{array}$$

# Send More Money

## Description

$$\begin{array}{r}
 r_4 r_3 r_2 r_1 \\
 \text{SEND} \\
 + \text{MORE} \\
 \hline
 \text{MONEY}
 \end{array}$$

## Contraintes possibles

$$C_1 : \quad d + e = y + 10 * r_1 \quad r_1 \in \{0, 1\}$$

$$C_2 : \quad r_1 + n + r = e + 10 * r_2 \quad r_2 \in \{0, 1\}$$

$$C_3 : \quad r_2 + e + o = n + 10 * r_3 \quad r_3 \in \{0, 1\}$$

$$C_4 : \quad r_3 + s + m = o + 10 * r_4 \quad r_4 \in \{0, 1\}$$

$$C_5 : \quad r_4 = m$$

$$C_6 : s \neq e \quad C_7 : s \neq n \quad C_8 : s \neq d \quad C_9 : s \neq m \quad C_{10} : s \neq o$$

$$C_{11} : s \neq r \quad C_{12} : s \neq y \quad C_{13} : e \neq n \quad C_{14} : e \neq d \quad C_{15} : e \neq m$$

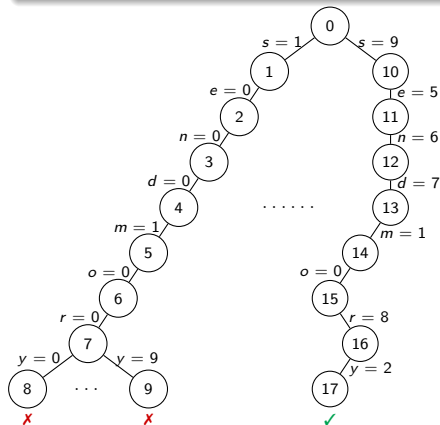
$$C_{16} : e \neq o \quad \dots \quad C_{31} : o \neq r \quad C_{32} : o \neq y \quad C_{33} : r \neq y$$

## Comment résoudre un CSP ?

# Generate and Test

## Méthode Naïve

Générer toutes les affectations possibles et vérifier si elles correspondent à des solutions



### Remark

Pour trouver une seule solution, on va générer :

- $9^2 * 10^6 = 81\ 000\ 000$  feuilles avec la première modélisation
- $2^4 * 9^2 * 10^6 = 1\ 296\ 000\ 000$  avec la seconde

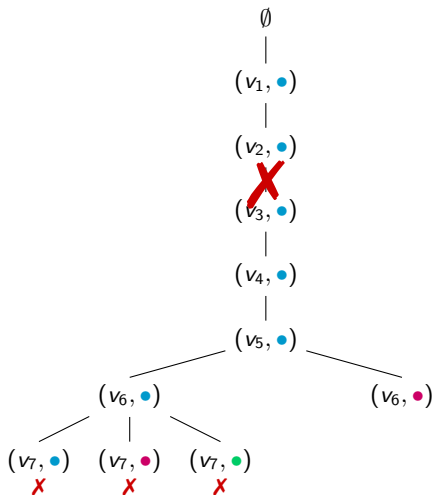
On peut faire mieux ?



# Generate and Test

## Coloriage de carte

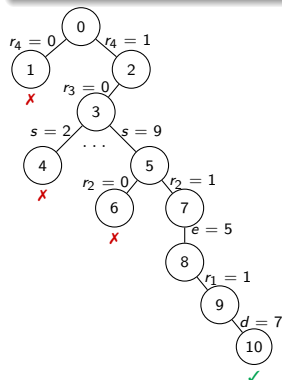
- $\mathcal{V} = \{v_1, \dots, v_7\}$
- $D_1 = \dots = D_7$   
 $= \{\bullet, \color{red}\bullet, \color{green}\bullet\}$
- $C_1 : v_1 \neq v_2$   
 $C_2 : v_1 \neq v_3$   
 $C_3 : v_2 \neq v_3$   
 $C_4 : v_2 \neq v_4$   
 $C_5 : v_3 \neq v_4$   
 $C_6 : v_3 \neq v_5$   
 $C_7 : v_3 \neq v_6$   
 $C_8 : v_4 \neq v_5$   
 $C_9 : v_5 \neq v_6$   
 $C_{10} : v_6 \neq v_7$



# Forward Checking

Dès qu'une variable est affectée on essaye de filtrer les valeurs pour les autres variables

- On remplace la variable par sa valeur dans toutes les contraintes
- On peut filtrer si une contrainte ne contient plus qu'une variable

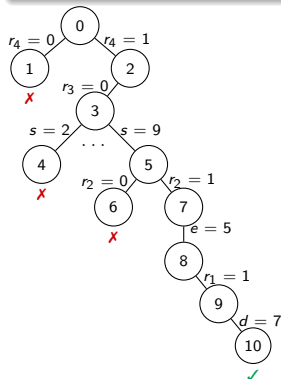


- $\{C_4 : r_3 + s + m = o + 10 * r_4,$   
 $C_5 : r_4 = m\}$ 
  - $r_4 = 0$   
 $\Rightarrow r_3 + s + m = o \wedge m = 0$  **X**
  - $r_4 = 1$   
 $\Rightarrow r_3 + s + m = o + 10 \wedge m = 1$   
 $\Rightarrow r_3 + s + 1 = o + 10$

# Forward Checking

Dès qu'une variable est affectée on essaye de filtrer les valeurs pour les autres variables

- On remplace la variable par sa valeur dans toutes les contraintes
- On peut filtrer si une contrainte ne contient plus qu'une variable



## Remark

Pour trouver une seule solution, on va générer :

- 483 840 feuilles avec la première modélisation
- 57 avec la seconde

**Pourquoi attendre une affectation ?**

# Méthode avec Filtrage

Les **2 étapes clés** de la programmation par contraintes !

## Propagation

Supprime des domaines les valeurs inconsistantes, c'est-à-dire les valeurs ne pouvant être dans une solution

## Exploration

Affecte une valeur à une variable

# Propagation

## Consistance pour une contrainte

### Différentes consistances :

- Consistance d'arc généralisée [Mackworth, 1977b]
- Consistance de chemin [Montanari, 1974]
- Consistance de borne [van Hentenryck et al., 1995]
- ...

Toutes reposent sur la notion de support

# Propagation

## Consistance pour une contrainte

### Definition (Support)

Soient  $v_1, \dots, v_n$  des variables de domaines discrets finis  $D_1, \dots, D_n$  et  $C$  une contrainte. La valeur  $x_i \in D_i$  a un **support** ssi

$\forall j \in [1, n], j \neq i, \exists x_j \in D_j$  tel que  $C(x_1, \dots, x_n)$  soit vrai

### Exemple

$C : r_4 = m$  avec  $D_{r_4} = [0, 1]$  et  $D_m = [1, 9]$

- 1 pour  $r_4$  a un support : 1 pour  $m$  car  $C(1, 1)$  est vrai
- 0 pour  $r_4$  n'a pas de support :  $\forall x_m \in D_m, C(0, x_m)$  est faux

# Propagation

## Consistance pour une contrainte

### Definition (Support)

Soient  $v_1, \dots, v_n$  des variables de domaines discrets finis  $D_1, \dots, D_n$  et  $C$  une contrainte. La valeur  $x_i \in D_i$  a un **support** ssi  $\forall j \in [1, n], j \neq i, \exists x_j \in D_j$  tel que  $C(x_1, \dots, x_n)$  soit vrai

### Exemple

$C : v_1 \neq v_2$  avec  $D_1 = D_2 = \{\bullet, \color{red}\bullet, \color{green}\bullet\}$

- $\bullet$   $\bullet$  pour  $v_1$  a un support :  $\color{red}\bullet$  pour  $v_2$  car  $C(\bullet, \color{red}\bullet)$  est vrai
- $\bullet$   $\color{red}\bullet$  pour  $v_1$  a un support :  $\bullet$  pour  $v_2$  car  $C(\bullet, \bullet)$  est vrai
- $\bullet$   $\color{green}\bullet$  pour  $v_1$  a un support :  $\bullet$  pour  $v_2$  car  $C(\bullet, \bullet)$  est vrai

# Consistances

## Definition (Consistance de bornes)

Soient  $v_1, \dots, v_n$  des variables de domaines discrets finis  $D_1, \dots, D_n$  et  $C$  une contrainte. Les domaines sont dits **borne-consistants** (BC) pour  $C$  ssi  $\forall i \in [1, n], D_i = [a_i, b_i], a_i$  et  $b_i$  ont un support.

## Exemple

Considérons deux variables  $v_1, v_2$  de domaines  $D_1 = D_2 = [-1, 4]$  et la contrainte  $v_1 = 2v_2$ . Les domaines borne-consistants pour cette contrainte sont  $D_1 = [0, 4]$  et  $D_2 = [0, 2]$



# Consistances

## Definition (Consistance d'arc généralisée)

Soient  $v_1, \dots, v_n$  des variables de domaines discrets finis  $D_1, \dots, D_n$  et  $C$  une contrainte. Les domaines sont dits **arc-consistants généralisés** (GAC) pour  $C$  ssi  $\forall i \in [1, n], \forall x \in D_i, x$  a un support.

## Exemple

Considérons deux variables  $v_1, v_2$  de domaines  $D_1 = D_2 = [-1, 4]$  et la contrainte  $v_1 = 2v_2$ . Les domaines arc-consistants pour cette contrainte sont  $D_1 = \{0, 2, 4\}$  et  $D_2 = \{0, 1, 2\}$

# Consistance d'arc

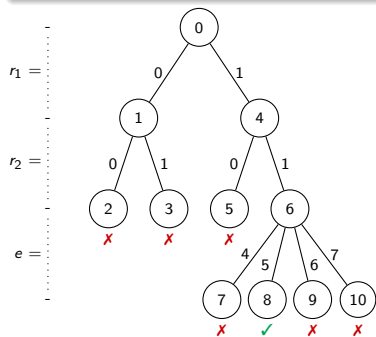
## Plusieurs implémentations

- AC1 et AC3 [Mackworth, 1977a]
- AC4 [Mohr and Henderson, 1986]
- AC5 [van Hentenryck et al., 1992]
- AC6 [Bessière, 1994]
- AC7 [Bessière et al., 1999]
- AC2001 [Bessière and Régim, 2001]
- AC3.2 et AC3.3 [Lecoutre et al., 2003]

# Maintaining Generalized Arc Consistency

On alterne deux phases

- Propagation, on utilise l'arc-consistance généralisée
- Exploration, on fait un choix



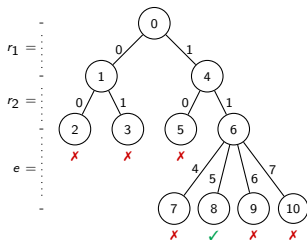
## Remark

Pour trouver une seule solution, on va générer :

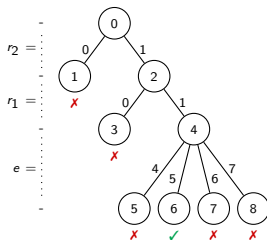
- 6 feuilles avec la première modélisation
- 7 avec la seconde

# Stratégie d'exploration

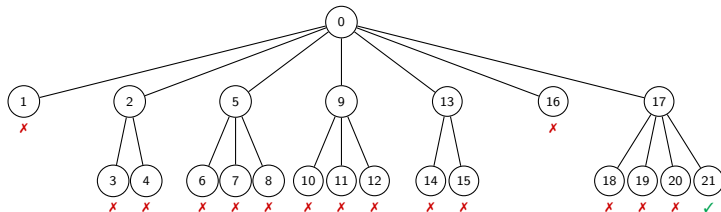
L'ordre des variables compte



7 feuilles



6 feuilles



16 feuilles

# Stratégie d'exploration

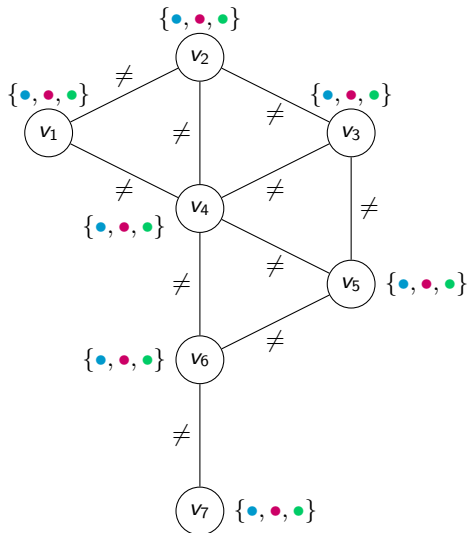
## Choisir la variable

- Ayant le plus petit domaine ( $\text{dom}$ ), First-fail [Haralick and Elliott, 1979]
- Apparaissant dans le plus grand nombre de contraintes ( $\text{deg}$ )
- $\text{dom} + \text{deg}$  [Brélaz, 1979]
- $\text{dom}/\text{deg}$  [Bessière and Régin, 1996]
- $\text{dom}/\text{wdeg}$  [Boussemart et al., 2004]
- ...

# Stratégie d'exploration

## Coloriage de carte

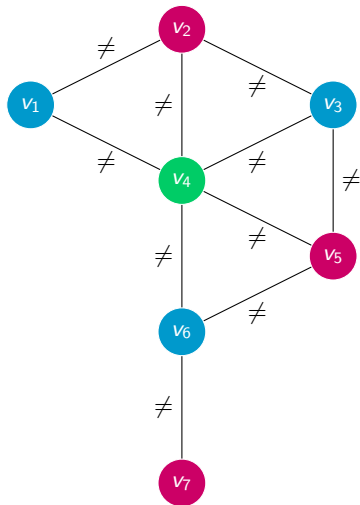
- $\mathcal{V} = \{v_1, \dots, v_7\}$
- $D_1 = \dots = D_7 = \{\bullet, \color{red}\bullet, \color{green}\bullet\}$
- $C_1 : v_1 \neq v_2$   
 $C_2 : v_1 \neq v_4$   
 $C_3 : v_2 \neq v_3$   
 $C_4 : v_2 \neq v_4$   
 $C_5 : v_3 \neq v_4$   
 $C_6 : v_3 \neq v_5$   
 $C_7 : v_4 \neq v_5$   
 $C_8 : v_4 \neq v_6$   
 $C_9 : v_5 \neq v_6$   
 $C_{10} : v_6 \neq v_7$



## Stratégie d'exploration - dom

## Coloriage de carte

- $\mathcal{V} = \{v_1, \dots, v_7\}$
- $D_1 = \dots = D_7 = \{\bullet, \color{red}\bullet, \color{green}\bullet\}$
- $C_1 : v_1 \neq v_2$   
 $C_2 : v_1 \neq v_4$   
 $C_3 : v_2 \neq v_3$   
 $C_4 : v_2 \neq v_4$   
 $C_5 : v_3 \neq v_4$   
 $C_6 : v_3 \neq v_5$   
 $C_7 : v_4 \neq v_5$   
 $C_8 : v_4 \neq v_6$   
 $C_9 : v_5 \neq v_6$   
 $C_{10} : v_6 \neq v_7$

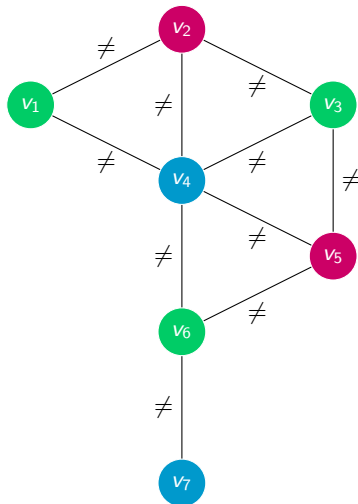


$$\begin{array}{|l}
 (v_1, \bullet) \\
 | \\
 (v_2, \color{red}\bullet) \\
 | \\
 (v_4, \color{green}\bullet) \\
 (v_3, \bullet) \\
 | \\
 (v_5, \color{red}\bullet) \\
 | \\
 (v_6, \bullet) \\
 | \\
 (v_7, \color{red}\bullet)
 \end{array}$$

## Stratégie d'exploration - deg

## Coloriage de carte

- $\mathcal{V} = \{v_1, \dots, v_7\}$
- $D_1 = \dots = D_7 = \{\bullet, \color{red}\bullet, \color{green}\bullet\}$
- $C_1 : v_1 \neq v_2$   
 $C_2 : v_1 \neq v_4$   
 $C_3 : v_2 \neq v_3$   
 $C_4 : v_2 \neq v_4$   
 $C_5 : v_3 \neq v_4$   
 $C_6 : v_3 \neq v_5$   
 $C_7 : v_4 \neq v_5$   
 $C_8 : v_4 \neq v_6$   
 $C_9 : v_5 \neq v_6$   
 $C_{10} : v_6 \neq v_7$



$$\begin{array}{c}
 (v_4, \bullet) \\
 | \\
 (v_2, \color{red}\bullet) \\
 | \\
 (v_1, \color{green}\bullet) \\
 (v_3, \color{green}\bullet) \\
 | \\
 (v_5, \color{red}\bullet) \\
 | \\
 (v_6, \color{green}\bullet) \\
 | \\
 (v_7, \bullet)
 \end{array}$$

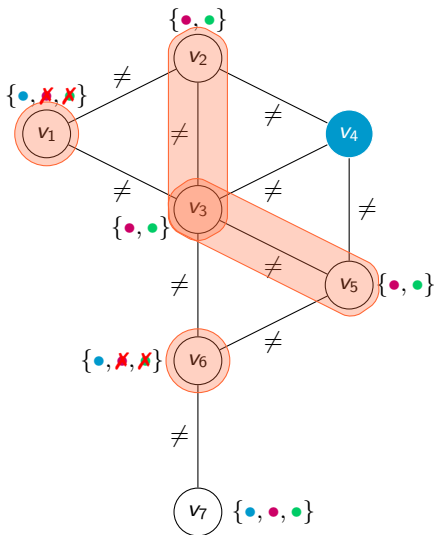


Ça marche tout le temps ?

# Limites

## Coloriage de carte

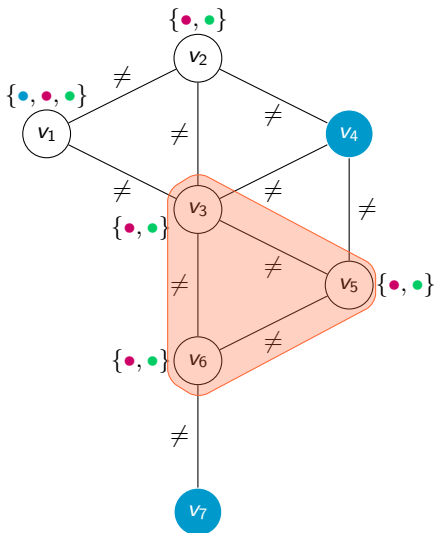
- $\mathcal{V} = \{v_1, \dots, v_7\}$
- $D_1 = \dots = D_7 = \{\bullet, \color{red}\bullet, \color{green}\bullet\}$
- $C_1 : v_1 \neq v_2$
- $C_2 : v_1 \neq v_3$
- $C_3 : v_2 \neq v_3$
- $C_4 : v_2 \neq v_4$
- $C_5 : v_3 \neq v_4$
- $C_6 : v_3 \neq v_5$
- $C_7 : v_3 \neq v_6$
- $C_8 : v_4 \neq v_5$
- $C_9 : v_5 \neq v_6$
- $C_{10} : v_6 \neq v_7$



# Limites

## Coloriage de carte

- $\mathcal{V} = \{v_1, \dots, v_7\}$
- $D_1 = \dots = D_7 = \{\bullet, \color{red}\bullet, \color{green}\bullet\}$
- $C_1 : v_1 \neq v_2$
- $C_2 : v_1 \neq v_3$
- $C_3 : v_2 \neq v_3$
- $C_4 : v_2 \neq v_4$
- $C_5 : v_3 \neq v_4$
- $C_6 : v_3 \neq v_5$
- $C_7 : v_3 \neq v_6$
- $C_8 : v_4 \neq v_5$
- $C_9 : v_5 \neq v_6$
- $C_{10} : v_6 \neq v_7$



# Contraintes globales

Permet de représenter un ensemble de contraintes

- Facilite la modélisation
- Algorithme dédié pour supprimer les valeurs inconsistantes des domaines

Catalogue des contraintes [Beldiceanu et al., 2010]

Les plus connues

- alldifferent
- cycle
- global\_cardinality
- nvalue
- element

## Contrainte alldifferent

Présentée la première fois dans [Lauriere, 1978]

Retourne **vrai** si toutes les variables sont différentes deux à deux

### Exemple

On peut ré-écrire les contraintes de différences du problème send + more = money

$\text{alldifferent}(s, e, n, d, m, o, r, y)$

# Contrainte alldifferent

## Coloriage de carte

- $\mathcal{V} = \{v_1, \dots, v_7\}$
- $D_1 = \dots = D_7 = \{\bullet, \bullet, \bullet\}$
- $C_1 : v_1 \neq v_2$
- $C_2 : v_1 \neq v_3$
- $C_3 : v_2 \neq v_3$
- $C_4 : v_2 \neq v_4$
- $C_5 : v_3 \neq v_4$
- $C_6 : v_3 \neq v_5$
- $C_7 : v_3 \neq v_6$
- $C_8 : v_4 \neq v_5$
- $C_9 : v_5 \neq v_6$
- $C_{10} : v_6 \neq v_7$

- $\mathcal{V} = \{v_1, \dots, v_7\}$
- $D_1 = \dots = D_7 = \{\bullet, \bullet, \bullet\}$
- $C_1 : \text{alldifferent}(v_1, v_2, v_3)$
- $C_2 : \text{alldifferent}(v_2, v_3, v_4)$
- $C_3 : \text{alldifferent}(v_3, v_4, v_5)$
- $C_4 : \text{alldifferent}(v_3, v_5, v_6)$
- $C_5 : v_6 \neq v_7$

# Contrainte alldifferent

- Pas que du sucre syntaxique
  - Arc-consistance
    - Développé indépendamment par [Costa, 1994] et [Régis, 1994]
    - Repose sur la théorie des graphes
  - Borne-consistance
    - Développé par [Puget, 1998] puis amélioré par [Mehlhorn and Thiel, 2000] et [Lopez-Ortiz et al., 2003]
    - Repose sur la notion d'intervalle de Hall

# Grphe des valeurs

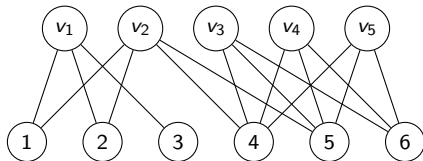
## Definition (Grphe des valeurs)

À partir des variables et des domaines d'un CSP on peut créer un graphe biparti, appelé **graphe des valeurs**

- Les sommets correspondent aux variables et aux valeurs
- Une arête relie une variable  $v_i$  et une valeur  $x$  si  $x \in D_i$

## Example

- $\mathcal{V} = \{v_1, v_2, v_3, v_4, v_5\}$
- $D_1 = \{1, 2, 3\}$ ,  $D_2 = \{1, 2, 4, 5\}$ , et  $D_3 = D_4 = D_5 = \{4, 5, 6\}$

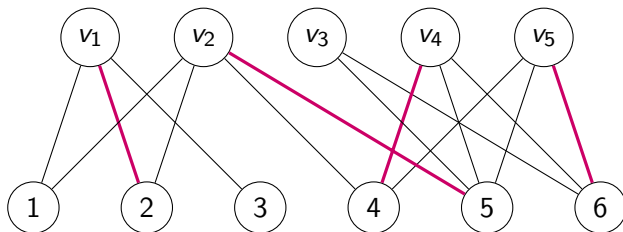




# Théorie des graphes

## Definition (Couplage)

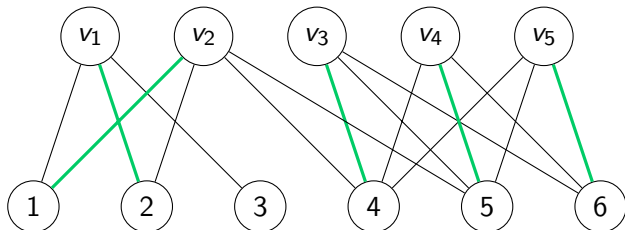
Étant donné un graphe  $G = (V, E)$ , un sous-ensemble  $M$  des arêtes  $E$  est appelé **couplage** ssi deux arêtes ne partagent pas de sommet



# Théorie des graphes

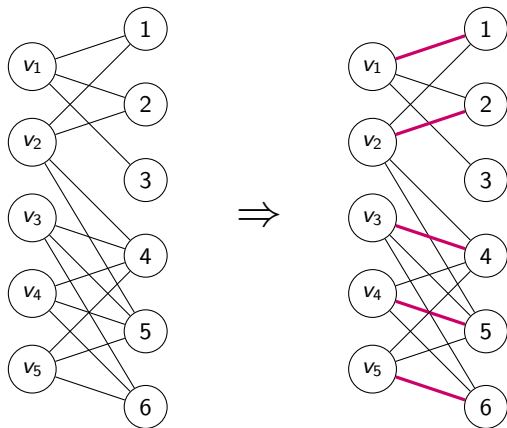
## Definition (Couplage maximal)

Un couplage est dit **maximal** si il contient le plus d'arêtes possibles



L'algorithme de Hopcroft-Karp [Hopcroft and Karp, 1973] permet de calculer le couplage maximal dans un graphe biparti

# Algorithme de Hopcroft-Karp



# Composante fortement connexe

## Definition (Graphe orienté)

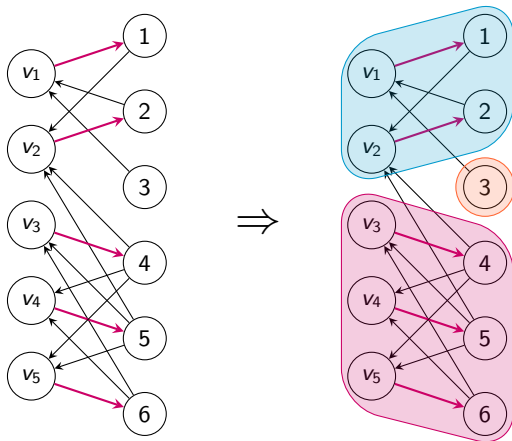
Un graphe **orienté**  $G = (V, E)$  est un graphe dont les arêtes ont une direction, on les appelle des **arcs**

## Definition (Composante fortement connexe)

Étant donné un graphe **orienté**  $G = (V, E)$ , une **composante fortement connexe** est un ensemble maximal de sommets tel que pour chaque sommet de l'ensemble il existe un chemin vers les autres sommets de l'ensemble

L'algorithme de Tarjan [Tarjan, 1972] permet de calculer efficacement les composantes fortement connexes dans un graphe

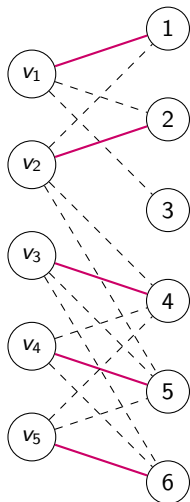
# Algorithme de Tarjan



# alldifferent : propagation pour l'arc-consistance

## Exemple

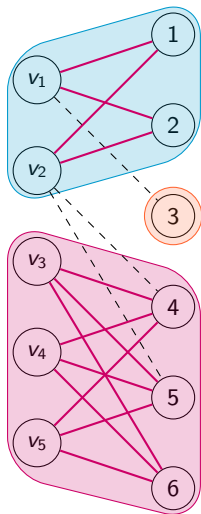
- $\mathcal{V} = \{v_1, v_2, v_3, v_4, v_5\}$
- $D_1 = \{1, 2, 3\}$ ,  $D_2 = \{1, 2, 4, 5\}$ , et  
 $D_3 = D_4 = D_5 = \{4, 5, 6\}$
- On trouve un couplage maximal  $\Rightarrow$  **une solution**



# alldifferent : propagation pour l'arc-consistance

## Exemple

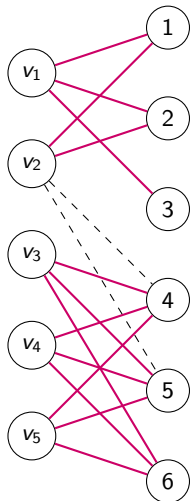
- $\mathcal{V} = \{v_1, v_2, v_3, v_4, v_5\}$
- $D_1 = \{1, 2, 3\}$ ,  $D_2 = \{1, 2, 4, 5\}$ , et  
 $D_3 = D_4 = D_5 = \{4, 5, 6\}$
- On trouve un couplage maximal  $\Rightarrow$  **une solution**
- On cherche les composantes fortement connexes  $\Rightarrow$  **les permutations**



# alldifferent : propagation pour l'arc-consistance

## Exemple

- $\mathcal{V} = \{v_1, v_2, v_3, v_4, v_5\}$
  - $D_1 = \{1, 2, 3\}$ ,  $D_2 = \{1, 2, 4, 5\}$ , et  $D_3 = D_4 = D_5 = \{4, 5, 6\}$
- 
- On trouve un couplage maximal  $\Rightarrow$  **une solution**
  - On cherche les composantes fortement connexes  $\Rightarrow$  **les permutations**
  - On ajoute les valeurs isolées aux domaines initiaux

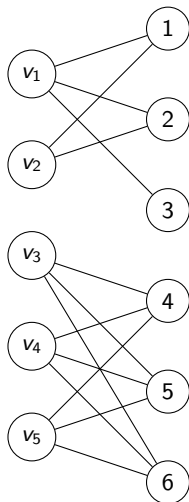




# alldifferent : propagation pour l'arc-consistance

## Exemple

- $\mathcal{V} = \{v_1, v_2, v_3, v_4, v_5\}$
  - $D_1 = \{1, 2, 3\}$ ,  $D_2 = \{1, 2\}$ , et  $D_3 = D_4 = D_5 = \{4, 5, 6\}$
- 
- On trouve un couplage maximal  $\Rightarrow$  **une solution**
  - On cherche les composantes fortement connexes  $\Rightarrow$  **les permutations**
  - On ajoute les valeurs isolées aux domaines initiaux



# Intervalle de Hall

## Definition

Soit  $(v_1, \dots, v_n)$  des variables de domaines discrets finis  $(D_1, \dots, D_n)$ .  
Étant donné un intervalle  $I$ , on définit  $K_I = \{v_i \mid D_i \subseteq I\}$ .  $I$  est un **intervalle de Hall** si  $|I| = |K_I|$ .

## Exemple

On considère le problème suivant :

- $\mathcal{V} = \{v_1, v_2, v_3, v_4, v_5\}$
- $D_1 = [1, 3]$ ,  $D_2 = [1, 5]$ , et  $D_3 = D_4 = D_5 = [4, 6]$
- $I = [4, 6]$  est un intervalle de Hall car  $K_I = \{v_3, v_4, v_5\}$  on a bien  $|I| = |K_I|$
- $I = [1, 3]$  n'est pas un intervalle de Hall car  $K_I = \{v_1\}$  et  $|I| \neq |K_I|$

# alldifferent : propagation pour la borne-consistance

- Pour chaque borne inférieure  $a$  et borne supérieure  $b$  des domaines, on regarde si  $I = [a, b]$  est un intervalle de Hall
- Si  $I$  est de Hall on peut supprimer des domaines des variables de  $\mathcal{V} \setminus K_I$  les valeurs de  $I$

## Exemple

On considère le problème suivant :

- $\mathcal{V} = \{v_1, v_2, v_3, v_4, v_5\}$
- $D_1 = [1, 3]$ ,  $D_2 = [1, 3]$ , et  $D_3 = D_4 = D_5 = [4, 6]$
- $I = [1, 6]$  n'est pas de Hall
- $I = [1, 5]$  n'est pas de Hall
- $I = [1, 3]$  n'est pas de Hall
- $I = [4, 5]$  n'est pas de Hall
- $I = [4, 6]$  est de Hall  $\Rightarrow$  **on supprime les valeurs 4, 5, 6 des domaines des variables qui ne sont pas dans  $K_I$**

## Contrainte global\_cardinality

Présentée la première fois dans [Oplobedu et al., 1989]

$$\text{global\_cardinality}(\underbrace{\{v_1, \dots, v_n\}}_{\text{Variables}}, \underbrace{\{x_1, \dots, p\}}_{\text{Valeurs}}, \underbrace{\{nb_1, \dots, nb_p\}}_{\text{Occurrences}})$$

Retourne **vrai** si parmi les variables  $\{v_1, \dots, v_n\}$ , il y a  $nb_i$  variables ayant la valeur  $x_i$

### Exemple

$$\text{global\_cardinality}(\{v_1, v_2, v_3, v_4, v_5, v_6\}, \{0, 1\}, \{2, 4\})$$

Dans certains cas, on peut écrire une alldifferent en utilisant une global\_cardinality

$$\text{alldifferent}(v_1, v_2, v_3) = \text{global\_cardinality}(\{v_1, v_2, v_3\}, \{\bullet, \color{red}\bullet, \color{green}\bullet\}, \{1, 1, 1\})$$

# Contrainte global\_cardinality

- Arc-consistance
  - Développé par [Régin, 1996]
  - Repose sur un algorithme de flot
- Borne-consistance
  - Développé par [Quimper et al., 2003]
  - Repose sur la notion d'intervalle de Hall
  - Développé par [Katriel and Thiel, 2003]
  - Repose sur la convexité pour améliorer l'efficacité de l'algorithme de flot

# Emploi du temps sportif

## Description

- $n$  équipes,  $n - 1$  semaines et  $n/2$  périodes
- chaque paire d'équipe joue exactement 1 fois
- chaque équipe joue un match chaque semaine
- chaque équipe joue au plus 2 fois dans la période

## Exemple (Solution possible)

|    | S1     | S2     | S 3    | S4     | S5     | S6     | S7     |
|----|--------|--------|--------|--------|--------|--------|--------|
| P1 | 1 vs 2 | 1 vs 3 | 5 vs 8 | 4 vs 7 | 4 vs 8 | 2 vs 6 | 3 vs 5 |
| P2 | 3 vs 4 | 2 vs 8 | 1 vs 4 | 6 vs 8 | 2 vs 5 | 1 vs 7 | 6 vs 7 |
| P3 | 5 vs 6 | 4 vs 6 | 2 vs 7 | 1 vs 5 | 3 vs 7 | 3 vs 8 | 1 vs 8 |
| P4 | 7 vs 8 | 5 vs 7 | 3 vs 6 | 2 vs 3 | 1 vs 6 | 4 vs 5 | 2 vs 4 |

# Séquence magique

## Description

Une séquence magique de longueur  $n$  est une séquence d'entiers  $v_0, \dots, v_{n-1}$  compris entre 0 et  $n - 1$  telle que le nombre  $i \in \{0, \dots, n - 1\}$  apparaisse exactement  $v_i$  fois dans la séquence

## Séquence magique ( $n = 10$ )

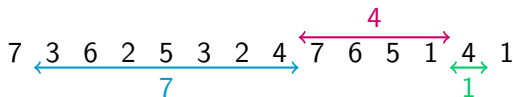
|       |   |   |   |   |   |   |   |   |   |   |
|-------|---|---|---|---|---|---|---|---|---|---|
|       | 0 | 1 | 2 | 3 | 4 | 5 | 6 | 7 | 8 | 9 |
| $v_i$ | 6 | 2 | 1 | 0 | 0 | 0 | 1 | 0 | 0 | 0 |

# Suite de Langford

## Description

Une suite de Langford est une séquence d'entiers  $v_1, \dots, v_{k \times n}$  compris entre 1 et  $n$  telle que le nombre  $i \in \{1, \dots, n\}$  apparaisse exactement  $k$  fois, et que 2 occurrences successives soient séparées par une distance  $i$ .  
On ne considère ici que pour  $k = 2$

## Suite de Langford ( $n = 7$ )





# Alice et Bob vont au travail

## Description

- Alice va au travail en voiture (30 à 40 min) ou par bus (au moins 60 min)
- Bob s'y rend en vélo (40 ou 50 min) ou en moto (20 à 30 min)
- Ce matin :
  - Alice a quitté sa maison entre 7h10 et 7h20
  - Bob est arrivé au travail entre 8h00 et 8h10
  - Alice est arrivée 10 à 20 min après que Bob soit parti

- 1 Modélisez ce problème
- 2 L'histoire est-elle cohérente ?
- 3 Quand Bob est-il parti ? Est-il possible qu'il ait pris son vélo ?
- 4 L'histoire est-elle cohérente si on ajoute le fait que :
  - la voiture d'Alice est en panne
  - Alice et Bob se sont rencontrés en chemin

# Binaire – Examen 2018

## Description

Un jeu belge, basé sur une grille carrée dans laquelle sont inscrits uniquement les chiffres 0 et 1. Sur chaque ligne et chaque colonne :

- il y a autant de 0 que de 1
- il ne peut pas y avoir plus de 2 chiffres identiques côte à côte

Il ne peut y avoir 2 lignes ou 2 colonnes identiques.

## Exemple de grille

|   |   |   |   |   |   |
|---|---|---|---|---|---|
|   | 0 |   |   | 1 | 0 |
|   | 1 | 0 |   |   | 1 |
|   |   |   |   |   |   |
| 1 | 0 |   | 0 | 1 |   |
| 1 |   |   |   |   |   |
|   |   |   |   | 1 | 1 |



Beldiceanu, N., Carlsson, M., and Rampon, J.-X. (2010).  
Global constraint catalog, 2nd edition.  
Technical Report T2010:07, The Swedish Institute of Computer Science.



Bessière, C. (1994).  
Arc-consistency and arc-consistency again.  
*Artificial Intelligence*, 65(1):179–190.



Bessière, C., Freuder, E. C., and Régin, J.-C. (1999).  
Using constraint metaknowledge to reduce arc consistency computation.  
*Artificial Intelligence*, 107(1):125–148.



Bessière, C. and Régin, J.-C. (1996).  
Mac and combined heuristics: Two reasons to forsake fc (and cbj?) on hard problems.  
In *Proceedings of the Second International Conference on Principles and Practice of Constraint Programming*, volume 1118 of *Lecture Notes in Computer Science*. Springer.



Bessière, C. and Régin, J.-C. (2001).  
Refining the basic constraint propagation algorithm.  
In *Proceedings of the 17th International Joint Conference on Artificial intelligence (IJCAI'01)*, pages 309–315. Morgan Kaufmann.



Boussemart, F., Hemery, F., Lecoutre, C., and Sais, L. (2004).  
Boosting systematic search by weighting constraints.  
In *Proceedings of the 16th European Conference on Artificial Intelligence, (ECAI'2004)*, pages 146–150. IOS Press.



Brélez, D. (1979).  
New methods to color the vertices of a graph.  
*Communications of the ACM*, 22(4):251–256.



Costa, M.-C. (1994).  
Persistency in maximum cardinality bipartite matchings.  
*Operations Research Letters*, 15(3):143–149.



Haralick, R. M. and Elliott, G. L. (1979).

Increasing tree search efficiency for constraint satisfaction problems.

*In Proceedings of the 6th International Joint Conference on Artificial Intelligence (IJCAI'79)*, pages 356–364. Morgan Kaufmann Publishers Inc.



Hopcroft, J. E. and Karp, R. M. (1973).

An  $n^{5/2}$  algorithm for maximum matchings in bipartite graphs.

*SIAM Journal on Computing*, 2(4):225–231.



Katriel, I. and Thiel, S. (2003).

Fast bound consistency for the global cardinality constraint.

*In Proceedings of the 9th International Conference on Principles and Practice of Constraint Programming (CP'03)*, volume 2833 of *Lecture Notes in Computer Science*, pages 437–451. Springer Berlin / Heidelberg.



Lauriere, J.-L. (1978).

A language and a program for stating and solving combinatorial problems.

*Artificial Intelligence*, 10(1):29 – 127.



Lecoutre, C., Boussemart, F., and Hemery, F. (2003).

Exploiting multidirectionality in coarse-grained arc consistency algorithms.

*In Proceedings of the 9th International Conference on Principles and Practice of Constraint Programming (CP'03)*, volume 2833 of *Lecture Notes in Computer Science*, pages 480–494. Springer.



Lopez-Ortiz, A., Quimper, C.-G., Tromp, J., and Beek, P. V. (2003).

A fast and simple algorithm for bounds consistency of the all different constraint.

*In Proceedings of the 18th International Joint Conference on Artificial Intelligence*, pages 245–250.



Mackworth, A. K. (1977a).

Consistency in networks of relations.

*Artificial Intelligence*, 8(1):99–118.



Mackworth, A. K. (1977b).

On reading sketch maps.

*In Proceedings of the 5th International Joint Conference on Artificial Intelligence*, pages 598–606.



Mehlhorn, K. and Thiel, S. (2000).

Faster algorithms for bound-consistency of the sortedness and the alldifferent constraint.

In *Proceedings of the 6th International Conference on Principles and Practice of Constraint Programming (CP '00)*, volume 1894 of *Lecture Notes in Computer Science*, pages 306–319. Springer.



Mohr, R. and Henderson, T. C. (1986).

Arc and path consistency revisited.

*Artificial Intelligence*, 28(2):225–233.



Montanari, U. (1974).

Networks of constraints: Fundamental properties and applications to picture processing.

*Information Science*, 7(2):95–132.



Oplobedu, A., Marcovitch, J., and Tourbier, Y. (1989).

Charme: Un langage industriel de programmation par contraintes, illustré par une application chez renault.

In *Proceedings of the Ninth International Workshop on Expert Systems and their Applications: General Conference*, pages 155–70.



Puget, J.-F. (1998).

A fast algorithm for the bound consistency of alldiff constraints.

In *Proceedings of the 15th National/10th Conference on Artificial Intelligence/Innovative applications of artificial intelligence (AAAI '98/IAAI '98)*, pages 359–366. American Association for Artificial Intelligence.



Quimper, C.-G., van Beek, P., López-Ortiz, A., Golynski, A., and Sadjad, S. (2003).

An efficient bounds consistency algorithm for the global cardinality constraint.

In *Proceedings of the 9th International Conference on Principles and Practice of Constraint Programming (CP'03)*, volume 2833 of *Lecture Notes in Computer Science*, pages 600–614. Springer Berlin / Heidelberg.



Régin, J.-C. (1994).

A filtering algorithm for constraints of difference in cps.

In *Proceedings of the 12th National Conference on Artificial Intelligence (Vol. 1)*, pages 362–367.



Régin, J.-C. (1996).

Generalized arc consistency for global cardinality constraint.

In *Proceedings of the 14th National Conference on Artificial Intelligence (AAAI-96)*, pages 209–215.



Tarjan, R. (1972).

Depth-first search and linear graph algorithms.

*SIAM Journal on Computing*, 1(2):146–160.



van Hentenryck, P., Deville, Y., and Teng, C.-M. (1992).

A generic arc-consistency algorithm and its specializations.

*Artificial Intelligence*, 57.



van Hentenryck, P., Saraswat, V. A., and Deville, Y. (1995).

Design, implementation, and evaluation of the constraint language cc(fd).

In *Selected Papers from Constraint Programming: Basics and Trends*, pages 293–316. Springer-Verlag.